# Стохастические системы

© 2025 г. Р.С. БИРЮКОВ, канд. физ.-мат. наук (ruslan.biryukov@itmm.unn.ru), E.C. БУБНОВА (bubnova@itmm.unn.ru)

(Нижегородский государственный университет им. Н.И. Лобачевского)

# ОБОБЩЕННОЕ $\mathcal{H}_2$ -УПРАВЛЕНИЕ ЛИНЕЙНОЙ НЕПРЕРЫВНОЙ СИСТЕМОЙ С МАРКОВСКИМИ ПЕРЕКЛЮЧЕНИЯМИ НА КОНЕЧНОМ ГОРИЗОНТЕ $^1$

Для линейной непрерывной нестационарной системы с марковскими переключениями вводится понятие обобщенной  $\mathcal{H}_2$ -нормы как максимальное значение максимального по времени математического ожидания квадрата евклидовой нормы целевого выхода при условии, что сумма квадрата энергии внешнего возмущения и квадратичной формы начального состояния системы равна единице. Обобщенная  $\mathcal{H}_2$ -норма характеризуется как в терминах системы матричных дифференциальных уравнений Риккати, так и в терминах линейных матричных неравенств. Показано, что задача синтеза управлений в классе линейных нестационарных обратных связей по состоянию, при которых обобщенная  $\mathcal{H}_2$ -норма замкнутой системы не превосходит заданной положительной величины, сводится к решению задачи полуопределенного программирования. Эффективность предложенного подхода продемонстрирована результатами численных экспериментов.

Kлючевые слова: обобщенная  $\mathcal{H}_2$ -норма, линейные матричные неравенства, однородные цепи Маркова, многокритериальное управление.

**DOI:** 10.7868/S2413977725120049

#### 1. Введение

В современных задачах управления широкое распространение получили системы со случайной структурой, в частности, системы с марковскими переключениями [1–6]. Такие системы имеют конечное число различных режимов функционирования, в каждом из которых динамика описывается своей системой дифференциальных уравнений. Между режимами в случайные моменты времени происходят скачкообразные переходы, определяемые эволюцией однородной марковской цепи (марковские переключения). Простейшие задачи, приводящие к системам со случайной структурой, это задачи управления с нарушениями и отказами [2], задачи синхронизации в сетях переменной топологии [3, 4], задачи многоагентного управления [5, 6] и др.

 $<sup>^1</sup>$  Работа выполнена при финансовой поддержке Министерства науки и высшего образования РФ (проект FSWR-2023-0034) и научно-образовательного математического центра «Математика технологий будущего».

Задача устойчивости систем со случайной структурой впервые была рассмотрена Кацем И.Я. и Красовским Н.Н. [7]. Позднее в работах [8–10] рассматривались различные постановки задач управления подобными системами, в частности, была решена задача линейно-квадратичного управления. В [1, 11–14] решались задачи  $\mathcal{H}_{\infty}$ - и  $\mathcal{H}_2$ -управления системами с марковскими переключениями.  $\mathcal{H}_{\infty}$ - и  $\mathcal{H}_2$ -нормы позволяют оценить качество переходных процессов в среднем. Однако часто необходимо гарантировать, что максимальное значение переходного процесса (целевого выхода) не превзойдет некоторой величины, т.е. требуется оценить максимальное значение целевого выхода системы. Один из возможных подходов к решению такой задачи основан на использовании обобщенной  $\mathcal{H}_2$ -нормы.

Понятие обобщенной  $\mathcal{H}_2$ -нормы, отвечающее максимальному уклонению при внешнем возмущении ограниченной энергии и нулевых начальных условиях, для систем непрерывного времени было введено в [15]. Обобщенная  $\mathcal{H}_2$ -норма характеризует коэффициент усиления системы, на вход которой поступает сигнал с ограниченной  $L_2$ -нормой, а выходной сигнал измеряется  $L_{\infty}$ -нормой, которая есть максимальное по времени значение евклидовой нормы целевого выхода. Для линейной непрерывной нестационарной системы в [16, 17] было введено понятие максимального уклонения как естественное расширение обобщенной  $\mathcal{H}_2$ -нормы на системы с ненулевым начальным состоянием и показан алгоритм вычисления. Кроме этого, в [16, 17] было показано, что задачи многокритериального управления, когда в качестве целевых функционалов выступают обобщенные  $\mathcal{H}_2$ -нормы, могут быть эффективно решены с использованием аппарата линейных матричных неравенств.

В [18] для линейных систем непрерывного времени с марковскими переключениями на бесконечном горизонте вычислена оценка обобщенной  $\mathcal{H}_2$ -нормы, в [19] для данных систем построено субоптимальное обобщенное  $\mathcal{H}_2$ -управление. Другое определение обобщенной  $\mathcal{H}_2$ -нормы, отличное от классического, используется в [20], где построены оценки на первый абсолютный момент компонент выхода системы при возмущениях ограниченной энергии. В [21] рассмотрена задача обобщенной  $\mathcal{H}_2$ -фильтрации для полумарковских систем. Задачи обобщенной  $\mathcal{H}_2$ -фильтрации и управления для дискретных систем с марковскими переключениями рассмотрены в [22–24]. Во всех указанных работах рассматриваются системы, которые в каждом режиме функционирования описываются стационарными системами.

В данной работе понятие обобщенной  $\mathcal{H}_2$ -нормы для линейных непрерывных систем с марковскими переключениями рассматривается на конечном горизонте, а системы в каждом режиме функционирования предполагаются в общем случае нестационарными. Для вычисления данной характеристики предложено несколько алгоритмов, а также показано как можно достаточно просто вычислить верхнюю оценку, что позволяет синтезировать субоптимальное обобщенное  $\mathcal{H}_2$ -управление в случае доступного для регулятора состояния марковской цепи.

Статья организована следующим образом. В разделе 2 дается понятие обобщенной  $\mathcal{H}_2$ -нормы для линейных непрерывных систем с марковскими переключениями на конечном горизонте, приводятся алгоритмы ее вычисления. Раздел 3 содержит решение задачи синтеза субоптимального обобщенного  $\mathcal{H}_2$ -управления в случаях доступного и недоступного для регулятора состояния марковской цепи. В разделе 4 решается задача многокритериального управления. Численные эксперименты, демонстрирующие полученные результаты, описаны в разделе 5.

#### 2. Обобщенная $\mathcal{H}_2$ -норма

Пусть  $(\Omega, \mathcal{F}, (\mathcal{F}_t)_{t \in [t_s, t_f]}, \mathsf{P})$  — вероятностное пространство с фильтрацией  $(\mathcal{F}_t)_{t \in [t_s, t_f]}$ . Обозначим через  $L_2^{\Omega}([t_s, t_f], \mathbb{R}_2^{n_v})$  пространство  $\mathcal{F}_t$ -согласованных процессов  $v = \{v(t) \in \mathbb{R}_2^{n_v}, t \in [t_s, t_f]\}$  таких, что

$$\mathbb{E}\|v\|_2^2 = \mathbb{E}\int_{t_r}^{t_f} v^{\top}(t)v(t)dt < \infty,$$

где  $\mathbb{E}(\cdot)$  — оператор математического ожидания.

Рассмотрим на конечном фиксированном временном промежутке  $[t_s,t_f]$  непрерывную линейную систему со случайной структурой, меняющейся в соответствии с эволюцией стационарной марковской цепи

(1) 
$$\dot{x} = A_{\theta(t)}(t)x + B_{\theta(t)}(t)v, \qquad x(t_s) = x_0,$$
$$z = C_{\theta(t)}(t)x,$$

здесь  $x \in \mathbb{R}_2^{n_x}$  – состояние объекта,  $v \in L_2^{\Omega}([t_s,t_f],\mathbb{R}_2^{n_v})$  – внешнее возмущение,  $z \in \mathbb{R}_2^{n_z}$  – целевой выход,  $\theta(t)$  – однородная цепь Маркова с непрерывным временем, которая определяется начальным распределением  $\pi_j = \mathsf{P}\{\theta(t_s) = j\}$  и матрицей вероятностей переходов  $P(\tau) = (p_{ij}(\tau)), i, j \in \mathfrak{S} = \{1, \dots, S\}$ , где  $p_{ij}(\tau)$  – вероятность того, что система, находящаяся в некоторый момент времени t в состоянии i, за время  $\tau$  перейдет из него в состояние j, т.е.  $p_{ij}(\tau) = \mathsf{P}\{\theta(t+\tau) = j | \theta(t) = i\}$ . Будем полагать, что

$$P\{\theta(t+\tau) = j | \theta(t) = i\} = \begin{cases} \lambda_{ij}\tau + o(\tau), & i \neq j, \\ 1 + \lambda_{ij}\tau + o(\tau), & i = j, \end{cases}$$

где  $\lambda_{ij}$  – элементы стационарной матрицы интенсивности  $\Lambda$ , обладающие следующими свойствами:

$$\sum_{j=1}^{S} \lambda_{ij} = 0, \quad \lambda_{ij} \geqslant 0, \quad \lambda_{ii} < 0.$$

Отметим, что однородную марковскую цепь с непрерывным временем можно задать с использованием матрицы интенсивности, связанной с матрицей вероятностей переходов соотношением  $P(\tau) = e^{\Lambda \tau}$  [1].

Пусть целевой выход системы представлен в виде

$$z = \operatorname{column}(z_1, z_2, \dots, z_M), \quad z_m = C_{m,\theta(t)}(t)x, \quad m = 1, \dots, M.$$

Определим обобщенную ∞-норму целевого выхода соотношением

(2) 
$$||z||_{g\infty}^2 = \sup_{t \in [t_s, t_f]} \max_{m=1,\dots,M} \mathbb{E}\{|z_m(t)|_2^2\}, \quad |z_m(t)|_2^2 = z_m^\top(t)z_m(t).$$

Система (1) порождает линейный оператор, отображающий начальные условия и внешнее возмущение в целевой выход  $S:(x_0,v)\mapsto z$ . Определим обобщенную  $\mathcal{H}_2$ -норму системы (1) как норму оператора S следующим образом:

(3) 
$$\|\mathcal{S}\|_{g2}^2 = \sup_{(x_0, v) \neq 0} \frac{\|z\|_{g\infty}^2}{\mathbb{E}\|v\|_2^2 + x_0^\top R x_0},$$

где  $R = R^{\top} \succ 0$  — заданная весовая матрица, отражающая относительную важность учета неопределенностей начальных условий и внешних возмущений.

 $Teopema\ 1.$  Обобщенная  $\mathcal{H}_2$ -норма линейной системы с марковскими переключениями (1) на конечном горизонте  $[t_s,t_f]$  может быть вычислена как

$$\|\mathcal{S}\|_{g2} = \sup_{T \in [t_s, t_f]} \gamma(T),$$

где  $\gamma(T)$  есть решение следующей задачи полуопределенного программирования относительно неизвестных матриц  $Q_l(t)=Q_l^\top(t)\succcurlyeq 0$ 

$$\begin{split} &\inf \gamma^2 \\ & \begin{bmatrix} \dot{Q}_l(t) + A_l^\top(t)Q_l(t) + Q_l(t)A_l(t) + \sum\limits_{j=1}^S \lambda_{lj}Q_j(t) & Q_l(t)B_l(t) \\ & B_l^\top(t)Q_l(t) & -I \end{bmatrix} \preccurlyeq 0, \quad t \in [t_s, T], \end{split}$$

$$\sum_{l=1}^{S} \pi_l Q_l(t_s) - R \leq 0, \quad \begin{bmatrix} Q_l(T) & C_{m,l}^{\top}(T) \\ C_{m,l}(T) & \gamma^2 I \end{bmatrix} \geq 0, \quad m = 1, \dots, M, \quad l \in \mathfrak{S}.$$

 $\Pi ycmb$ 

$$t^* = \arg\sup_{T \in [t_s, t_f]} \gamma(T),$$

а при решении неравенств (4) на отрезке  $[t_s,t^*]$  получены матричные функции  $Q_{\theta(t)}(t)$ , тогда наихудшие внешнее возмущение  $v^*(t)$  и вектор начальных условий  $x_0^*$  имеют вид

(5) 
$$x_0^* = e_{\max} \left( R^{-1} \sum_{l=1}^S \pi_l Q_l(t_s) \right), \quad v^*(t) = \begin{cases} B_{\theta(t)}^\top(t) Q_{\theta(t)}(t) x(t), & t \in [t_s, t^*], \\ 0, & t \in (t^*, t_f], \end{cases}$$

где x(t) – решение задачи Коши для системы

(6) 
$$\dot{x} = (A_{\theta(t)} + B_{\theta(t)} B_{\theta(t)}^{\top}(t) Q_{\theta(t)}(t)) x(t), \quad x(t_s) = x_0^*.$$

3амечание 1. Отметим, что в случае детерминированных внешних возмущений  $v \in L_2([t_s,t_f],\mathbb{R}_2^{n_v})$  для обобщенной  $\mathcal{H}_2$ -нормы справедлива оценка

(7) 
$$\sup_{(x_0,v)\neq 0} \frac{\|z\|_{g\infty}^2}{\|v\|_{L_2}^2 + x_0^\top R x_0} \leqslant \|\mathcal{S}\|_{g2},$$

так как происходит сужение области, по которой вычисляется точная верхняя грань. Таким образом, вычисляя значение обобщенной  $\mathcal{H}_2$ -нормы при стохастических возмущениях (3), получим верхнюю оценку на случай детерминированных возмущений (7).

Для вычисления обобщенной  $\mathcal{H}_2$ -нормы с помощью матричных неравенств (4) выполним дискретизацию. Введем сетку, например, равномерную с шагом h:

(8) 
$$t_0 = t_s, t_k = t_{k-1} + h, k = 1, \dots, K; h = \frac{T - t_s}{K},$$

и запишем дискретный аналог неравенств (4):

(9) 
$$\begin{bmatrix} Q_{l,k+1} - Q_{l,k} + h \left( A_{l,k}^{\top} Q_{l,k} + Q_{l,k} A_{l,k} + \sum_{j=1}^{S} \lambda_{lj} Q_{j,k} \right) & h Q_{l,k} B_{l,k} \\ h B_{l,k}^{\top} Q_{l,k} & -hI \end{bmatrix} \leq 0,$$

$$\sum_{l=1}^{S} \pi_{l} Q_{l,0} - R \leq 0, \quad \begin{bmatrix} Q_{l,K} & C_{m,l,K}^{\top} \\ C_{m,l,K} & \gamma^{2}I \end{bmatrix} \geq 0, \quad m = 1, \dots, M, \quad l \in \mathfrak{S},$$

где 
$$A_{l,k} = A_l(t_k)$$
,  $B_{l,k} = B_l(t_k)$ ,  $C_{m,l,k} = C_{m,l}(t_k)$ ,  $Q_{l,k} = Q_l(t_k)$ ,  $k = 0, \dots, K-1$ .

C ледствие 1. Обобщенная  $\mathcal{H}_2$ -норма линейной системы с марковскими переключениями (1) на конечном горизонте  $[t_s,t_f]$  может быть вычислена как

$$\|\mathcal{S}\|_{g2} = \sup_{T \in [t_s, t_f]} \gamma(T),$$

где  $\gamma(T)$  есть решение следующей задачи полуопределенного программирования

(10) 
$$\begin{aligned}
&\inf \gamma^{2} \\
&\begin{bmatrix} -\dot{Y}_{l}(t) + A_{l}(t)Y_{l}(t) + Y_{l}(t)A_{l}^{\top}(t) + B_{l}(t)B_{l}^{\top}(t) + \lambda_{ll}Y_{l}(t) & V_{l}(t) \\
& V_{l}^{\top}(t) & -W_{l}(t) \end{bmatrix} \preceq 0, \\
&\begin{bmatrix} Y_{l}(T) & Y_{l}(T)C_{m,l}^{\top}(T) \\ C_{m,l}(T)Y_{l}(T) & \gamma^{2}I \end{bmatrix} \succeq 0, \quad m = 1, \dots, M, \quad l \in \mathfrak{S}, \quad t \in [t_{s}, T], \\
&\mathcal{L}(Y_{1}(t_{s}), \dots, Y_{S}(t_{s})) \succeq 0,
\end{aligned}$$

где

$$V_{l}(t) = \begin{bmatrix} \sqrt{\lambda_{l1}} Y_{l}(t) & \dots & \sqrt{\lambda_{l,l-1}} Y_{l}(t) & \sqrt{\lambda_{l,l+1}} Y_{l}(t) & \dots & \sqrt{\lambda_{l,S}} Y_{l}(t) \end{bmatrix},$$

$$W_{l}(t) = \operatorname{diag}(Y_{1}(t), \dots, Y_{l-1}(t), Y_{l+1}(t), \dots, Y_{S}(t)),$$

$$(11)$$

$$\mathcal{L}(Y_{1}(t_{s}), \dots, Y_{S}(t_{s})) = \begin{bmatrix} R & \sqrt{\pi_{1}} I & \dots & \sqrt{\pi_{S}} I \\ \sqrt{\pi_{1}} I & Y_{1}(t_{s}) & \dots & 0 \\ \vdots & \vdots & \ddots & \vdots \\ \sqrt{\pi_{S}} I & 0 & \dots & Y_{S}(t_{s}) \end{bmatrix}.$$

Для вычисления обобщенной  $\mathcal{H}_2$ -нормы системы (1) с помощью следствия 1 необходимо решить задачу (10) для каждого момента времени  $T \in [t_s, t_f]$ , что является вычислительно трудоемким процессом. Сформулируем теорему, с помощью которой можно достаточно легко вычислить верхнюю оценку обобщенной  $\mathcal{H}_2$ -нормы системы (1), что в дальнейшем также позволит синтезировать субоптимальное обобщенное  $\mathcal{H}_2$ -управление в случае доступного для регулятора состояния марковской цепи.

Tе о р е м а 2. Обобщенная  $\mathcal{H}_2$ -норма линейной системы с марковскими переключениями (1) на конечном горизонте  $[t_s, t_f]$  удовлетворяет неравенству

$$\|\mathcal{S}\|_{q^2} \leqslant \gamma$$
,

где  $\gamma$  есть решение следующей задачи полуопределенного программирования относительно неизвестных матриц  $Y_l = Y_l^\top \succcurlyeq 0, \ l \in \mathfrak{S}$ :

(12) 
$$\begin{aligned}
&\inf \gamma^{2} \\
& \begin{bmatrix} -\dot{Y}_{l}(t) + A_{l}(t)Y_{l}(t) + Y_{l}(t)A_{l}^{\top}(t) + B_{l}(t)B_{l}^{\top}(t) + \lambda_{ll}Y_{l}(t) & V_{l}(t) \\
& V_{l}^{\top}(t) & -W_{l}(t) \end{bmatrix} \leq 0, \\
& \begin{bmatrix} Y_{l}(t) & Y_{l}(t)C_{m,l}^{\top}(t) \\ C_{m,l}(t)Y_{l}(t) & \gamma^{2}I \end{bmatrix} \geq 0, \quad m = 1, \dots, M, \quad l \in \mathfrak{S}, \quad \in [t_{s}, t_{f}], \\
& \mathcal{L}(Y_{1}(t_{s}), \dots, Y_{S}(t_{s})) \geq 0,
\end{aligned}$$

 $r \partial e V_l(t) u W_l(t)$  определены ранее формулой (11).

#### 3. Синтез законов управления

Рассмотрим линейный управляемый объект со случайной структурой, динамика которого описывается уравнениями

(13) 
$$\dot{x} = A_{\theta(t)}(t)x + B_{\theta(t)}(t)v + B_{\theta(t)}^{u}(t)u, \qquad x(t_s) = x_0, \\ z = C_{\theta(t)}(t)x + D_{\theta(t)}(t)u,$$

где  $x\in\mathbb{R}_2^{n_x}$  — состояние объекта,  $v(t)\in\mathbb{R}_2^{n_v}$  — стохастическое внешнее возмущение,  $z\in\mathbb{R}_2^{n_z}$  — целевой выход,  $u\in\mathbb{R}_2^{n_u}$  — управление,  $\theta(t)$  — однородная

цепь Маркова с непрерывным временем, которая определяется начальным распределением  $\pi_j = P\{\theta(t_s) = j\}$  и матрицей вероятностей переходов  $P(\tau) = (p_{ij}(\tau)), i, j \in \mathfrak{S}$ .

# 3.1. Обратная связь с учетом состояния марковской цепи

Поставим задачу синтеза управления в виде линейной обратной связи по состоянию системы с учетом состояния марковской цепи

(14) 
$$u(t) = \Theta_{\theta(t)}(t)x(t), \quad \theta(t) \in \mathfrak{S},$$

минимизирующего обобщенную  $\mathcal{H}_2$ -норму системы (13), замкнутой регулятором (14):

(15) 
$$\dot{x} = (A_{\theta(t)}(t) + B_{\theta(t)}^{u}(t)\Theta_{\theta(t)}(t))x + B_{\theta(t)}(t)v, \quad x(t_s) = x_0, \\ z = (C_{\theta(t)}(t) + D_{\theta(t)}(t)\Theta_{\theta(t)}(t))x.$$

Подставим матрицы замкнутой системы (15) в неравенства (10), в результате чего приходим к следующему утверждению.

Teopema 3. Матрицы  $\Theta(t) = (\Theta_1(t), \dots, \Theta_S(t))$  законов управления (14), минимизирующих обобщенную  $\mathcal{H}_2$ -норму системы (13), находятся при решении следующей задачи:

(16) 
$$\|\mathcal{S}\|_{g2} = \inf_{\boldsymbol{\Theta}(t), t \in [t_s, t_f]} \sup_{T \in [t_s, t_f]} \gamma_{\boldsymbol{\Theta}}(T),$$

где  $\gamma_{\mathbf{\Theta}}(T)$  есть решение следующей задачи полуопределенного программирования

(17) 
$$\begin{aligned}
&\inf \gamma^{2} \\
& \begin{bmatrix} -\dot{Y}_{l} + A_{l}Y_{l} + Y_{l}A_{l}^{\top} + B_{l}^{u}\Theta_{l}Y_{l} + Y_{l}\Theta_{l}^{\top}B_{l}^{u\top} + B_{l}B_{l}^{\top} + \lambda_{ll}Y_{l} & * \\
& V_{l}^{\top} & -W_{l} \end{bmatrix} \leq 0, \\
& \begin{bmatrix} Y_{l}(T) & * \\
C_{m,l}(T)Y_{l}(T) + D_{m,l}(T)\Theta_{l}Y_{l}(T) & \gamma^{2}I \end{bmatrix} \geq 0, \\
& \mathcal{L}(Y_{1}(t_{s}), \dots, Y_{S}(t_{s})) \geq 0, \quad t \in [t_{s}, T], \quad m = 1, \dots, M, \quad l, \in ], \mathfrak{S}.
\end{aligned}$$

Для краткости в первом неравенстве у матричных функций опущен аргумент t, а через \* обозначен симметричный элемент.

Задача (16) не может быть решена с использованием имеющегося аппарата, так как необходимо организовать поиск инфинума по всевозможным параметрам регулятора  $\Theta(t)$ . Эта проблема исчезает в условиях теоремы 2, с помощью которой параметры обратной связи могут быть вычислены внутри задачи полуопределенного программирования (12). В этом случае представляется оправданным искать регулятор, минимизирующий оценку нормы, так называемый субоптимальный обобщенный  $\mathcal{H}_2$ -регулятор.

Tе о р е м а 4. Матрицы  $\Theta_l(t)$  законов управления (14), минимизирующих оценку обобщенной  $\mathcal{H}_2$ -нормы системы (13), имеют вид  $\Theta_l(t) = Z_l(t)Y_l^{-1}(t)$ , где  $Y_l = Y_l^{\top} \succcurlyeq 0$  и  $Z_l$  находятся при решении следующей задачи полуопределенного программирования

(18) 
$$\begin{aligned}
&\inf \gamma^{2} \\
& \begin{bmatrix} -\dot{Y}_{l} + A_{l}Y_{l} + Y_{l}A_{l}^{\top} + B_{l}^{u}Z_{l} + Z_{l}^{\top}B_{l}^{u\top} + B_{l}B_{l}^{\top} + \lambda_{ll}Y_{l} & * \\
& V_{l}^{\top} & -W_{l} \end{bmatrix} \leq 0, \\
& \begin{bmatrix} Y_{l}(t) & * \\
C_{m,l}(t)Y_{l}(t) + D_{m,l}(t)Z_{l}(t) & \gamma^{2}I \end{bmatrix} \geq 0, \\
& \mathcal{L}(Y_{1}(t_{s}), \dots, Y_{S}(t_{s})) \geq 0, \quad t \in [t_{s}, t_{f}], \quad m = 1, \dots, M, \quad l \in \mathfrak{S}.
\end{aligned}$$

#### 3.2. Обратная связь не зависит от состояния марковской цепи

Далее рассмотрим задачу синтеза регулятора, параметры которого не зависят от состояния марковского процесса, т.е. управление имеет вид

(19) 
$$u(t) = \Theta(t)x(t).$$

В этом случае система (13), замкнутая регулятором (19), имеет вид:

(20) 
$$\dot{x} = \left(A_{\theta(t)}(t) + B_{\theta(t)}^{u}(t)\Theta(t)\right)x + B_{\theta(t)}(t)v, \qquad x(t_s) = x_0,$$
$$z = \left(C_{\theta(t)}(t) + D_{\theta(t)}(t)\Theta(t)\right)x.$$

Teopema 5. Обобщенная  $\mathcal{H}_2$ -норма системы (20) удовлетворяет неравенству  $\|\mathcal{S}\|_{g^2} \leqslant \gamma$  для некоторого положительного  $\gamma$ , если существует  $\rho > 0$  такое, что выполняются линейные матричные неравенства для матриц  $P(t) = P^\top(t), \ Z(t), \ Y_l(t) = Y_l^\top \succcurlyeq 0, \ l \in \mathfrak{S}$ :

$$\begin{bmatrix} -\dot{Y}_{l} + A_{l}Y_{l} + Y_{l}A_{l}^{\top} + B_{l}^{u}Z + Z^{\top}B_{l}^{u\top} + B_{l}B_{l}^{\top} + \lambda_{ll}Y_{l} & * & * \\ V_{l}^{\top} & -W_{l} & * \\ \rho Z^{\top}B_{l}^{u\top} + Y_{l} - P & 0 & -2\rho P \end{bmatrix} \preceq 0,$$

$$(21) \begin{bmatrix} Y_{l}(t) & * & * \\ C_{m,l}(t)Y_{l}(t) + D_{m,l}(t)Z(t) & \gamma^{2}I & * \\ P - Y_{l} & \rho Z^{\top}(t)D_{m,l}^{\top}(t) & 2\rho P \end{bmatrix} \succcurlyeq 0,$$

$$\mathcal{L}(Y_{1}(t_{s}), \dots, Y_{S}(t_{s})) \succcurlyeq 0, \quad t \in [t_{s}, t_{f}], \quad m = 1, \dots, M, \quad l \in \mathfrak{S},$$

npu этом  $\Theta(t) = Z(t)P^{-1}(t)$ .

#### 4. Многокритериальное управление

Рассмотрим линейный управляемый объект со случайной структурой, динамика которого описывается уравнениями

(22) 
$$\dot{x} = A_{\theta(t)}(t)x + B_{\theta(t)}(t)v + B_{\theta(t)}^{u}(t)u, \qquad x(t_s) = x_0, \\ z^{(k)} = C_{\theta(t)}^{(k)}(t)x + D_{\theta(t)}^{(k)}(t)u, \qquad k = 1, \dots, N,$$

где  $x \in \mathbb{R}_2^{n_x}$  — состояние объекта,  $v(t) \in \mathbb{R}_2^{n_v}$  — стохастическое внешнее возмущение,  $z^{(k)} \in \mathbb{R}_2^{n_{z_k}}$  — целевые выходы,  $u \in \mathbb{R}_2^{n_u}$  — управление,  $\theta(t)$  — однородная цепь Маркова с непрерывным временем, которая определяется начальным распределением  $\pi_j = \mathsf{P}\{\theta(t_s) = j\}$  и матрицей вероятностей переходов  $P(\tau) = (p_{ij}(\tau)), i, j \in \mathfrak{S}.$ 

Каждый векторный целевой выход  $z^{(k)}, k=1,\ldots,N,$  представлен в виде набора векторов

$$z^{(k)} = \operatorname{column}(z_1^{(k)}, z_2^{(k)}, \dots, z_{M_k}^{(k)}),$$
  

$$z_m^{(k)} = C_{m,\theta(t)}^{(k)}(t)x + D_{m,\theta(t)}^{(k)}(t)u, \qquad m = 1, \dots, M_k.$$

Предположим, что влияние внешнего возмущения на k-й целевой выход характеризуется функционалом

(23) 
$$J_k^2 = \sup_{(x_0, v) \neq 0} \frac{\|z^{(k)}\|_{g\infty}^2}{\mathbb{E}\|v\|_2^2 + x_0^\top R x_0},$$

т.е. представляет собой обобщенную  $\mathcal{H}_2$ -норму, следовательно, можно поставить и решить задачу многокритериального управления:  $\min\{J_1,\ldots,J_N\}$ . Следуя [16], определим вспомогательный функционал  $J_{\alpha}$ , тогда согласно теореме 4.1 [16] оптимальные по Парето решения поставленной многокритериальной задачи могут быть найдены как решение задачи

(24) 
$$\min_{u} J_{\alpha}, \quad J_{\alpha} = \max_{k=1,\dots,N} \frac{J_{k}}{\alpha_{k}},$$

$$\alpha \in \mathcal{A} := \left\{ \alpha = (\alpha_{1},\dots,\alpha_{N}) : \alpha_{k} > 0, \sum_{k=1}^{N} \alpha_{k} = 1 \right\},$$

где функционал  $J_{\alpha}$  представляет собой свертку Гермейера, кроме этого, является обобщенной  $\mathcal{H}_2$ -нормой следующей системы:

(25) 
$$\dot{x} = \left(A_{\theta(t)}(t) + B_{\theta(t)}^{u}(t)\Theta_{\alpha,\theta(t)}(t)\right)x + B_{\theta(t)}(t)v, \qquad x(t_s) = x_0,$$
$$\zeta = \left(\mathcal{C}_{\theta(t)}(t) + \mathcal{D}_{\theta(t)}(t)\Theta_{\alpha,\theta(t)}(t)\right)x,$$

где

$$\zeta = \operatorname{column} \left( \alpha_1^{-1} z_1^{(1)}, \dots, \alpha_1^{-1} z_{M_1}^{(1)}, \alpha_2^{-1} z_1^{(2)}, \dots, \alpha_2^{-1} z_{M_2}^{(2)}, \dots, \alpha_N^{-1} z_1^{(N)}, \dots, \alpha_N^{-1} z_{M_N}^{(N)} \right),$$
 
$$\mathcal{C}_{\theta(t)} = \operatorname{column} \left( \alpha_1^{-1} C_{\theta(t)}^{(1)}, \dots, \alpha_N^{-1} C_{\theta(t)}^{(N)} \right), \quad \mathcal{D}_{\theta(t)} = \operatorname{column} \left( \alpha_1^{-1} D_{\theta(t)}^{(1)}, \dots, \alpha_N^{-1} D_{\theta(t)}^{(N)} \right).$$

Назовем регулятор вида  $u(t) = \Theta_{\alpha,\theta(t)}(t)x(t)$ ,  $\alpha \in \mathcal{A}$ , многокритериальным оптимальным обобщенным  $\mathcal{H}_2$ -регулятором, если он обеспечивает минимально возможные значения обобщенной  $\mathcal{H}_2$ -нормы системы (25). С учетом теоремы 4 приходим к следующему утверждению.

Теорема 6. Матрицы параметров субоптимальных по Парето регуляторов  $\Theta_{\alpha,l}(t)$  относительно критериев  $J_k$ ,  $k=1,\ldots,N$ , имеют вид  $\Theta_{\alpha,l}(t)=Z_l(t)Y_l^{-1}(t)$ , где  $Y_l=Y_l^{\top}\succcurlyeq 0$  и  $Z_l$  находятся при решении следующей задачи полуопределенного программирования

(26) 
$$\begin{aligned}
&\inf \gamma^{2} \\
& \left[ -\dot{Y}_{l} + A_{l}Y_{l} + Y_{l}A_{l}^{\top} + B_{l}^{u}Z_{l} + Z_{l}^{\top}B_{l}^{u\top} + B_{l}B_{l}^{\top} + \lambda_{ll}Y_{l} \quad * \\
& V_{l}^{\top} \quad -W_{l} \right] \leq 0, \\
& \left[ \begin{array}{c} Y_{l}(t) & * \\ C_{m,l}^{(k)}(t)Y_{l}(t) + D_{m,l}^{(k)}(t)Z_{l}(t) & \alpha_{k}^{2}\gamma^{2}I \end{array} \right] \geq 0, \\
\mathcal{L}(Y_{1}(t_{s}), \dots, Y_{S}(t_{s})) \geq 0, \quad t \in [t_{s}, t_{f}], \quad l \in \mathfrak{S}.
\end{aligned}$$

### 5. Численное моделирование

В качестве иллюстрации полученных результатов рассмотрим линейную непрерывную систему с марковскими переключениями между двумя состояниями

(27) 
$$\dot{x} = A_{\theta(t)}(t)x + B_{\theta(t)}(t)v + B_{\theta(t)}^{u}(t)u, \qquad x(t_s) = x_0, \\ z^{(k)} = C_{\theta(t)}^{(k)}(t)x + D_{\theta(t)}^{(k)}(t)u, \qquad k = 1, 2,$$

матрицы которой имеют вид

$$A_{1} = \begin{bmatrix} 1,2 & -2,0 \\ 0,1 & 1,1 \end{bmatrix}, \quad A_{2} = \begin{bmatrix} 0,2 & 0,0 \\ 2,0 & 0,3 \end{bmatrix}, \quad B_{1} = B_{1}^{u} = \begin{bmatrix} 0 \\ 1 \end{bmatrix}, \quad B_{2} = B_{2}^{u} = \begin{bmatrix} 1 \\ 0 \end{bmatrix},$$

$$C_{1}^{(1)} = C_{2}^{(1)} = \begin{bmatrix} 1 & 0 \\ 0 & 1 \end{bmatrix}, \quad D_{1}^{(1)} = D_{2}^{(1)} = 0, \quad C_{1}^{(2)} = C_{2}^{(2)} = 0, \quad D_{1}^{(2)} = D_{2}^{(2)} = \begin{bmatrix} 1 \\ 1 \end{bmatrix}.$$

Система рассматривается на временном промежутке [0,2], параметры марковской цепи и весовая матрица имеют вид

$$\pi = \begin{bmatrix} 0.3 \\ 0.7 \end{bmatrix}, \quad \Lambda = \begin{bmatrix} -10 & 10 \\ 5 & -5 \end{bmatrix}, \quad R = \begin{bmatrix} 1 & 0 \\ 0 & 1 \end{bmatrix}.$$

Введем два функционала  $J_1$  и  $J_2$ , являющихся обобщенными  $\mathcal{H}_2$ -нормами системы относительно целевых выходов  $z^{(1)}$  и  $z^{(2)}$  соответственно:

(28) 
$$J_1^2 = \sup_{(x_0, v) \neq 0} \frac{\|z^{(1)}\|_{g\infty}^2}{\mathbb{E}\|v\|_2^2 + x_0^\top R x_0}, \qquad J_2^2 = \sup_{(x_0, v) \neq 0} \frac{\|z^{(2)}\|_{g\infty}^2}{\mathbb{E}\|v\|_2^2 + x_0^\top R x_0}.$$

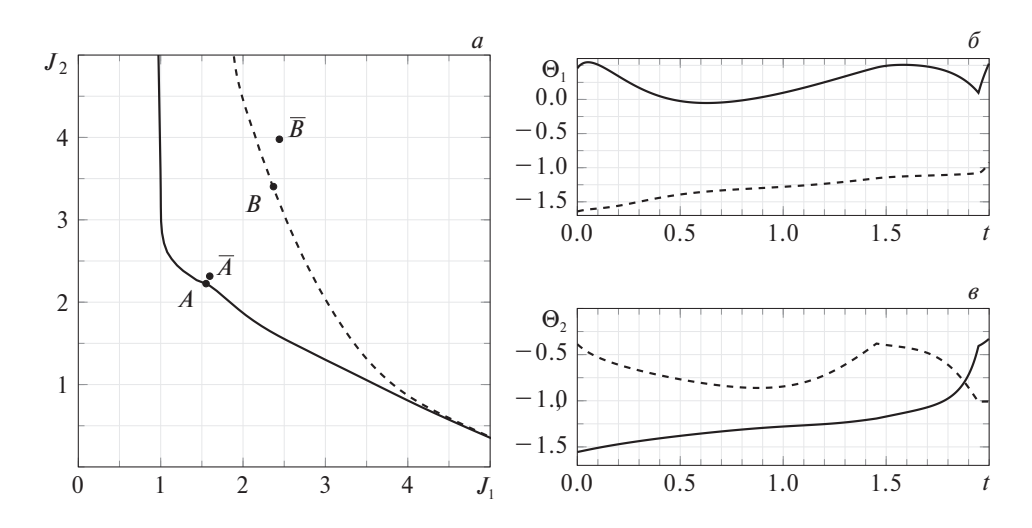


Рис. 1. Множество Парето на плоскости критериев  $(J_1, J_2)$ .

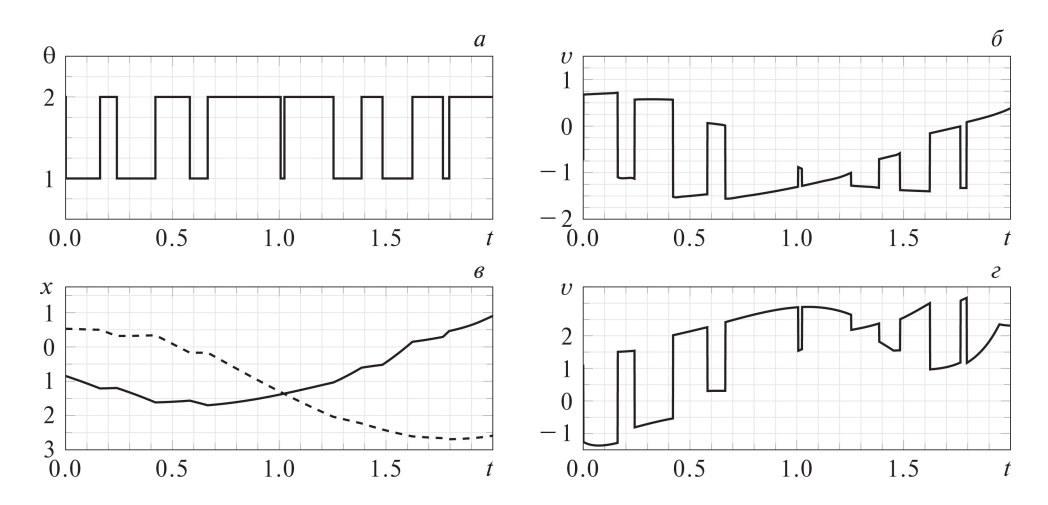
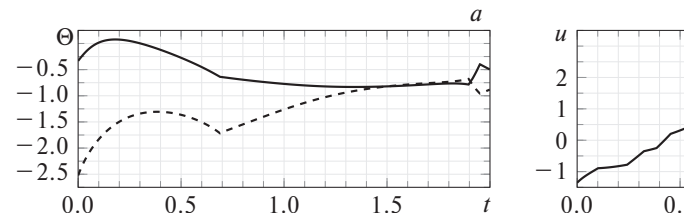


Рис. 2. Пример реализации марковского процесса.

Проведем дискретизацию на отрезке [0,2] с шагом h=0,001 и вычислим обобщенную  $\mathcal{H}_2$ -норму системы (27), когда управление отсутствует. Так как целевой выход  $z^{(2)}=0$ , обобщенная  $\mathcal{H}_2$ -норма системы совпадет с критерием  $J_1$ . При решении неравенств (10) получено значение  $\|\mathcal{S}\|_{g2}=5,7882$ .

С использованием теоремы 4 синтезированы регуляторы  $\Theta_{\alpha,l}(t) = [\Theta^1_{\alpha,l},\Theta^2_{\alpha,l}],\ l=1,2,$  и с помощью следствия 1 вычислены соответствующие им значения критериев  $J_1$  и  $J_2$ . На рис. 1,a сплошной линией изображена оптимальная по Парето кривая на плоскости критериев  $(J_1,J_2)$ . Точка A(1,5509,2,2492) соответствует значению сверточного параметра  $\alpha=0,4$ . На рис. 1,6 и 1,6 приведены графики оптимальных по Парето коэффициентов обратной связи  $\Theta_{\alpha,l}(t)$  в зависимости от времени: сплошная кривая соответствует коэффициенту  $\Theta^1_{\alpha,l}(t)$ , а штриховая – коэффициенту  $\Theta^2_{\alpha,l}(t)$ .



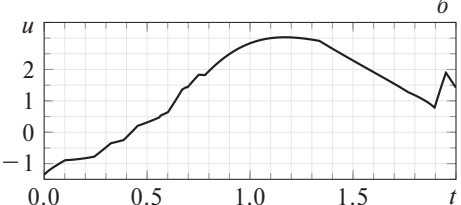


Рис. 3. Коэффициенты матрицы обратной связи  $\Theta(t)$  и управление u(t).

На рис. 2 представлен пример реализации марковского процесса: графики изменения состояния марковской цепи (рис. 2,a), наихудших возмущений (рис.  $2,\delta$ ), компонент вектора состояния системы  $x_1$  (сплошная кривая) и  $x_2$  (пунктирная кривая), управления (рис.  $2,\delta$  и  $2,\epsilon$ ).

Отметим, что коэффициенты обратной связи можно считать слабо меняющимися на выбранном промежутке времени, поэтому представляет интерес сравнить значения функционалов при субоптимальном регуляторе и стационарном регуляторе, отвечающем средним значениям  $\overline{\Theta}_1(t) \equiv [0,2402; -1,2928]$  и  $\overline{\Theta}_2(t) \equiv [-1,2366; -0,6797]$ , которым на рис. 1,a соответствует точка  $\overline{A}(1,5959;2,3158)$ . Как следует из приведенных данных, потери в качестве управления можно считать допустимыми, и они компенсируются сравнительно простым в реализации стационарным регулятором.

# 5.1. Управление, не зависящее от состояния марковской цепи

Далее рассмотрим задачу синтеза регулятора, параметры которого не зависят от состояния марковского процесса (19). Для решения неравенств (21) выберем параметр  $\rho=0,2$ , остальные параметры моделирования оставим прежними. На рис. 1,a верхняя оценка Парето оптимального фронта изображена пунктирной кривой, точка B(2,3697;3,4030) соответствует значению критериев при  $\alpha=0,4$ . На рис. 3,a при выбранном  $\alpha$  приведены графики оптимальных по Парето коэффициентов обратной связи  $\Theta_{\alpha}(t)$  в зависимости от времени (сплошная кривая соответствует коэффициенту  $\Theta_{\alpha}^{1}(t)$ , а штриховая – коэффициенту  $\Theta_{\alpha}^{2}(t)$ ). На рис. 3, $\delta$  представлен график управления для одной из реализаций марковского процесса.

Также как и в предыдущем случае рассмотрим, что произойдет с функционалами, если заменить нестационарный регулятор на стационарный, отвечающий средним значениям  $\overline{\Theta}(t) \equiv [-0.5538; -1.2106]$ , которым на рис. 1,a соответствует точка  $\overline{B}(2,4413;3,9778)$ . Видно, что получающиеся значения функционалов хуже, но стационарный регулятор проще в реализации, поэтому такой подход можно считать оправданным.

#### 6. Заключение

Для линейных систем со случайной структурой на конечном горизонте введено понятие обобщенной  $\mathcal{H}_2$ -нормы, приведены алгоритмы ее вычисления, основанные как на решении системы матричных дифференциальных уравнений Риккати, так и на решении систем линейных матричных неравенств. Построено субоптимальное обобщенное  $\mathcal{H}_2$ -управление в виде нестационарной линейной обратной связи по состоянию системы как зависящей, так и независящей от состояния марковской цепи. Также показано, что могут быть решены задачи многокритериального управления в случае, если критерии представляют собой обобщенные  $\mathcal{H}_2$ -нормы.

#### ПРИЛОЖЕНИЕ

Прежде чем переходить к доказательствам сформулированных теорем, для удобства введем обозначения

(II.1) 
$$\mathbf{X} = (X_1, X_2, \dots, X_S), \qquad X_l(t) = X_l^{\top}(t) \geq 0, \qquad l \in \mathcal{S},$$

$$\mathcal{R}_l(\mathbf{X}) = \dot{X}_l(t) + A_l^{\top}(t)X_l(t) + X_l(t)A_l(t) +$$

$$+ X_l(t)B_l(t)B_l^{\top}(t)X_l(t) + \sum_{i=1}^{S} \lambda_{lj}X_j(t),$$

и докажем вспомогательное утверждение.

 $\mathcal{I}$ емма 1. Пусть  $\mathbf{X} = (X_1, X_2, \dots, X_S)$  – решение уравнений

(II.3) 
$$\mathcal{R}_l(\mathbf{X}) + M_l = 0, \quad X_l(t_f) = X_l^0, \quad l \in \mathcal{S}, \quad t \in [t_s, t_f],$$

 $\mathbf{Y} = (Y_1, Y_2, \dots, Y_S)$  – решение уравнений

(
$$\Pi$$
.4)  $\mathcal{R}_l(\mathbf{Y}) + N_l = 0, \quad X_l(t_f) = Y_l^0, \quad l \in \mathcal{S}, \quad t \in [t_s, t_f],$ 

где 
$$0 \preccurlyeq M_l(t) \preccurlyeq N_l(t), \ 0 \preccurlyeq X_l^0 \preccurlyeq Y_l^0, \ l \in \mathcal{S}, \ t \in [t_s, t_f], \ morda$$

(II.5) 
$$X_l(t) \preccurlyeq Y_l(t), \quad l \in \mathcal{S}, \quad t \in [t_s, t_f].$$

Доказательство леммы 1. Рассмотрим систему уравнений Ляпунова

(II.6) 
$$\dot{P}_l + (A_l + B_l B_l^{\top} X_l)^{\top} P_l + P_l (A_l + B_l B_l^{\top} X_l) + \sum_{j=1}^{S} \lambda_{lj} P_j + (X_l - Y_l) B_l B_l^{\top} (X_l - Y_l) + N_l - M_l = 0$$

на временном промежутке  $[t_s,t_f]$  с граничными условиями  $P_l(t_f)=Y_l^0-X_l^0$ ,  $l\in\mathcal{S}$ . Данное уравнение имеет единственное решение  $P_l(t),\ l\in\mathcal{S}$ , причем  $P_l(t)\succcurlyeq 0$ , так как  $(X_l-Y_l)B_lB_l^\top(X_l-Y_l)+N_l-M_l\succcurlyeq 0$  и  $P_l(t_f)\succcurlyeq 0$  [1, 25]. Заметим, что  $P_l(t)=Y_l(t)-X_l(t)$  является решением уравнения (П.6), откуда получаем (П.5).

 $\mathcal{A}$ оказательство теоремы 1. Запишем функционал (3) в следующем виде:

$$\|\mathcal{S}\|_{g^2} = \sup_{T \in [t_s, t_f]} \max_{m=1,\dots,M} \gamma_m(T), \qquad \gamma_m^2(T) = \sup_{(x_0, v) \neq 0} \frac{\mathbb{E}|z_m(T)|_2^2}{\mathbb{E}\|v\|_2^2 + x_0^\top R x_0}.$$

В силу линейности оператора  ${\mathcal S}$  последнее равенство может быть записано как

(II.7) 
$$\sup_{(x_0,v)\neq 0} \mathbb{E}\left\{ |z_m(T)|_2^2 - \gamma^2 (||v||_2^2 + x_0^\top R x_0) \right\} = 0,$$

здесь и далее для краткости опущен аргумент и индекс  $\gamma_m(T)$ . Введем в рассмотрение функцию Беллмана в момент времени t

$$(\Pi.8) \ V(t,x_t,l) = \sup_v \mathbb{E} \left\{ z_m^\top(T) z_m(T) - \gamma^2 \int_t^T v^\top(\tau) v(\tau) d\tau \, \Big| \, x(t) = x_t, \ \theta(t) = l \right\},$$

тогда соотношение (П.7) запишется в виде

(II.9) 
$$\sup_{x_0 \neq 0} \mathbb{E} \left\{ V(t_s, x_0, \theta_0) - \gamma^2 x_0^{\top} R x_0 \right\} = 0, \qquad \theta_0 = \theta(t_s).$$

Вычислим  $V(t_s, x_0, \theta_0)$ , используя стохастическое уравнение Беллмана [26]:

(II.10) 
$$\max_{v} \left\{ \mathcal{L}^{v} V(t, x(t), l) - \gamma^{2} v^{\top}(t) v(t) \right\} = 0, \\ V(T, x(T), l) = x^{\top}(T) C_{m,l}^{\top}(T) C_{m,l}(T) x(T),$$

где инфинитезимальный оператор  $\mathcal{L}^v$  имеет вид

$$(\Pi.11) \quad \mathcal{L}^{v}g(t,x,l) = \frac{\partial g(t,x,l)}{\partial t} + \left(A_{l}(t)x + B_{l}(t)v\right)^{\top} \nabla_{x}g(t,x,l) + \sum_{i=1}^{S} \lambda_{lj}g(t,x,j).$$

Будем искать решение в виде квадратичной формы  $V(t,x(t),l) = x^{\top}(t)X_l(t)x(t), X_l(t) = X_l^{\top}(t) \succcurlyeq 0$ . Для краткости в дальнейшем будем опускать аргументы функций x(t) и v(t). Подставляя вид инфинитезимального оператора (П.11) в уравнение (П.10), получим

$$\max_{v} \left\{ x^{\top} \dot{X}_{l}(t) x + 2(A_{l}(t)x + B_{l}(t)v)^{\top} X_{l}(t) x + \sum_{j=1}^{S} \lambda_{lj} x^{\top} X_{j}(t) x - \gamma^{2} v^{\top} v \right\} = 0.$$

Поскольку выражение, стоящее в фигурных скобках, является выпуклым вверх функционалом по переменной v, то решение задачи существует. Для его отыскания найдем стационарную точку  $v^*$ :

(II.13) 
$$v^* = \gamma^{-2} B_l^{\top}(t) X_l(t) x.$$

Опустим аргументы у матричных функций и, подставляя найденное выражение  $(\Pi.13)$  в соотношение  $(\Pi.12)$  и упрощая, получим

$$(\Pi.14) x^{\top} \left( \dot{X}_l + A_l^{\top} X_l + X_l A_l + \gamma^{-2} X_l B_l B_l^{\top} X_l + \sum_{j=1}^{S} \lambda_{lj} X_j \right) x = 0.$$

С учетом того, что равенство ( $\Pi$ .14) должно выполняться при любом значении x, получаем дифференциальное матричное уравнение

$$(\Pi.15) \qquad \dot{X}_l + A_l^{\top} X_l + X_l A_l + \gamma^{-2} X_l B_l B_l^{\top} X_l + \sum_{i=1}^{S} \lambda_{lj} X_j = 0$$

с граничными условиями  $X_l(T) = C_{m,l}^{\top}(T)C_{m,l}(T)$ . Тогда в начальный момент времени имеем  $V(t_s, x_0, \theta_0) = x_0^{\top} X_{\theta_0}(t_s) x_0$ , и вычисление (П.9) сводится к

(II.16) 
$$\sup_{x_0 \neq 0} x_0^{\top} \left( \sum_{l=1}^S \pi_l X_l(t_s) - \gamma^2 R \right) x_0.$$

Выражение представляет собой квадратичную форму по переменной  $x_0$  и достигает своего наибольшего значения в точке

(
$$\Pi$$
.17) 
$$x_0^* = e_{\max} \left( R^{-1} \sum_{l=1}^S \pi_l X_l(t_s) \right),$$

если справедливо условие

$$(\Pi.18) \qquad \sum_{l=1}^{S} \pi_l X_l(t_s) - \gamma^2 R \leq 0,$$

при этом значение  $\gamma$  находится как

(II.19) 
$$\gamma = \lambda_{max}^{1/2} \left( R^{-1} \sum_{l=1}^{S} \pi_l X_l(t_s) \right).$$

Записав условие (П.19) с помощью линейного матричного неравенства при минимальном  $\gamma$ , после замены  $X_l(t) = \gamma^2 Q_l(t)$  получим следующую задачу оптимизации на отрезке  $[t_s, T]$  для вычисления  $\gamma_m(T)$ :

inf 
$$\gamma^2$$
(II.20)  $\mathcal{R}_l(\mathbf{Q}) = 0$ ,  $\sum_{l=1}^{S} \pi_l Q_l(t_s) - R \leq 0$ ,  $Q_l(T) = \gamma^{-2} C_{m,l}^{\top}(T) C_{m,l}(T)$ ,  $l \in \mathfrak{S}$ .

Далее покажем, что значение  $\gamma_m(T)$  может быть найдено в результате решения следующей задачи полуопределенного программирования на отрезке  $[t_s, T]$ :

(II.21) 
$$\mathcal{R}_l(\mathbf{Q}) \preceq 0, \quad \sum_{l=1}^S \pi_l Q_l(t_s) - R \preceq 0, \quad Q_l(T) \succcurlyeq \gamma^{-2} C_{m,l}^\top(T) C_{m,l}(T), \quad l \in \mathfrak{S}.$$

Пусть  $\gamma_1$  является решением задачи (П.20), а  $\gamma_2$  и  $\mathbf{Q} = (Q_1, Q_2, \dots, Q_S)$  получены в результате решения (П.21). Решение задачи (П.20) является решением задачи (П.21), если соответствующие неравенства выполняются как равенства, поэтому  $\gamma_2 \leqslant \gamma_1$ .

Предположим, что  $\gamma_2 < \gamma_1$ . Пусть  $\mathbf{X} = (X_1, X_2, \dots, X_S)$  – решение уравнений  $\mathcal{R}_l(\mathbf{X}) = 0, \ l \in \mathfrak{S}$ , на отрезке  $[t_s, T]$  с граничными условиями  $X_l(T) = \gamma_2^{-2} C_{m,l}^{\top}(T) C_{m,l}(T)$ . Тогда по лемме 1 получаем

(II.22) 
$$X_l(t) \preccurlyeq Q_l(t), \quad l \in \mathcal{S}, \quad t \in [t_s, T].$$

Так как  $\pi_l \geqslant 0, l \in \mathfrak{S}$ , то в начальный момент времени справедливы следующие соотношения:

(II.23) 
$$\sum_{l=1}^{S} \pi_l X_l(t_s) \preccurlyeq \sum_{l=1}^{S} \pi_l Q_l(t_s) \preccurlyeq R,$$

откуда следует, что  $\mathbf{X}$  является решением (П.20) при  $\gamma_2 < \gamma_1$ , что противоречит условию  $\gamma_1^2 = \inf \gamma^2$ , а значит предположение  $\gamma_2 < \gamma_1$  неверно, и  $\gamma_1 = \gamma_2$ .

Заметим, что при фиксированном m из решения задачи (П.21) находится  $\gamma_m(T)$ . Для того, чтобы найти  $\max_{m=1,\dots,M} \gamma_m(T)$  необходимо в неравенства (П.21) добавить перебор по всем возможным значениям m, т.е. решить (П.21) при  $m=1,\dots,M$ . Применяя лемму о дополнении Шура к неравенствам (П.21), приходим к условиям (4). Теорема 1 доказана.

 $\mathcal{A}$ оказательство следствия 1. В неравенствах (П.21) сделаем замену переменных  $Y_l(t) = Q_l^{-1}(t), l \in \mathfrak{S}$ , и умножим первое и третье неравенства на  $Y_l(t)$  слева и справа, после чего, используя лемму о дополнении Шура, приходим к выражениям (10). Следствие 1 доказано.

 $\mathcal{A}$ оказательство теоремы 2. Пусть обобщенная  $\mathcal{H}_2$ -норма системы (1) равна  $\|\mathcal{S}\|_{q^2}$  и достигается в момент времени  $t^*$ , т.е.

$$\|\mathcal{S}\|_{g2} = \sup_{T \in [t_s, t_f]} \gamma(T), \quad t^* = \arg \sup_{T \in [t_s, t_f]} \gamma(T),$$

где  $\gamma(T)$  есть решение задачи (10). Таким образом, при  $T=t^*$  в задаче (10) получаем inf  $\gamma^2=\gamma^2(t^*)=\|\mathcal{S}\|_{q^2}^2$ .

Пусть в результате решения задачи (12) получено значение  $\widehat{\gamma}$  и матрицы  $\widehat{Y}_l(t)$ ,  $t \in [t_s, t_f]$ . Предположим, что  $\widehat{\gamma} < \|\mathcal{S}\|_{g2}$ , тогда задача (10) при  $T = t^*$ ,  $Y_l(t) = \widehat{Y}_l(t)$ ,  $t \in [t_s, t^*]$ , имеет решение  $\widehat{\gamma}^2 < \|\mathcal{S}\|_{g2}^2$ , что противоречит условию inf  $\gamma^2 = \|\mathcal{S}\|_{g2}^2$ , а значит предположение  $\widehat{\gamma} < \|\mathcal{S}\|_{g2}$  неверно, и  $\|\mathcal{S}\|_{g2} \leqslant \widehat{\gamma}$ . Теорема 2 доказана.

 $\mathcal{A}$ оказательство теоремы 4. Подставим матрицы замкнутой системы (15) в неравенства (12) и сделаем замены  $\Theta_l(t)Y_l(t) = Z_l(t)$ , после чего неравенства становятся линейными. В результате данных преобразований получим неравенства (18). Теорема 4 доказана.

Доказательство теоремы 5. Воспользуемся подходом, изложенным в [27]. Умножая первое и второе неравенства (21) слева и справа соответственно на

$$\begin{bmatrix} I & 0 & \rho^{-1}(Y_l - P)P^{-1} \\ 0 & I & 0 \end{bmatrix}, \quad \begin{bmatrix} I & 0 & \rho^{-1}(Y_l - P)P^{-1} \\ 0 & I & 0 \end{bmatrix}^{\top},$$

получим следующие неравенства:

$$(\Pi.24) \begin{bmatrix} -\dot{Y}_{l} + \left(A_{l} + B_{l}^{u}\Theta\right)Y_{l} + Y_{l}\left(A_{l} + B_{l}^{u}\Theta\right)^{\top} + B_{l}B_{l}^{\top} + \lambda_{ll}Y_{l} & V_{l} \\ V_{l}^{\top} & -W_{l} \end{bmatrix} \leq 0,$$

$$\begin{bmatrix} Y_{l} & Y_{l}(t)\left(C_{m,l} + D_{m,l}\Theta\right)^{\top} \\ \left(C_{m,l} + D_{m,l}\Theta\right)Y_{l} & \gamma^{2}I \end{bmatrix} \geq 0,$$

которые вместе с третьим неравенством (21) являются условиями вычисления оценки обобщенной  $\mathcal{H}_2$ -нормы системы (20) с использованием теоремы 2. Теорема 5 доказана.

#### СПИСОК ЛИТЕРАТУРЫ

- 1. Costa O.L., Fragoso M.D., Todorov M.G. Continuous-Time Markov Jump Linear Systems. Springer, 2014.
- 2. Stoica A.M., Stoicu S.C.  $H_{\infty}$  State-Feedback Control of Multi-Agent Systems with Data Packet Dropout in the Communication Channels: A Markovian Approach // Entropy. 2022. V. 24. No. 12. P. 1734.
- 3. Xiaowu M., Baojie Z., Kai L.  $L_2 L_{\infty}$  containment control of multi-agent systems with Markovian switching topologies and non-uniform time-varying delays // IET Control Theory & Applications. 2014. V. 8. No. 10. P. 863–872.
- 4. Yan Z., Sang C., Fang M., Zhou J. Energy-to-peak consensus for multi-agent systems with stochastic disturbances and Markovian switching topologies // Transactions of the Institute of Measurement and Control. 2018. V. 40. No. 16. P. 4358–4368.
- 5. Abdollahi F., Khorasani K. A Decentralized Markovian Jump  $H_{\infty}$  Control Routing Strategy for Mobile Multi-Agent Networked Systems // IEEE Transactions on Control Systems Technology. 2011. V. 19. No. 2. P. 269–283.

- 6. Wan H., Luan X., Karimi H. R., Liu F. Dynamic Self-Triggered Controller Codesign for Markov Jump Systems // IEEE Transactions on Automatic Control. 2021. V. 66. No. 3. P. 1353–1360.
- 7. *Кац И.Я.*, *Красовский Н.Н.* Об устойчивости систем со случайными параметрами // Прикл. математика и механика. 1960. Т. 27. № 5. С. 809–823.
- 8. *Казаков И.Е.*, *Артемьев В.М.* Оптимизация динамических систем случайной структуры. М.: Наука, 1980.
- 9. *Кац И.Я.* Метод функций Ляпунова в задачах устойчивости и стабилизации систем случайной структуры. Екатеринбург: Изд-во Уральской гос. академии путей сообщения, 1998.
- 10. Mariton M. Jump linear systems in automatic control. Taylor & Francis, 1990.
- 11. Hinrichsen D., Pritchard A.J. Stochastic  $H_{\infty}$  // SIAM J. Control. 1998. V. 36. No. 5. P. 1504–153.
- 12. Petersen I.R., Ugrinovskii V.A., Savkin A.V. Robust Control Design Using  $H_{\infty}$  Methods. London et al. Springer, 2000.
- 13. Costa O., Fragoso M. A separation principle for the  $H_2$ -control of continuous-time infinite Markov jump linear systems with partial observations // J. Math. Anal. Appl. 2007. V. 331. P. 97–120.
- 14. De Oliveira A.M., Costa O.L.V. Mixed  $H_2/H_{\infty}$  State-Feedback Control of Continuous-Time Markov Jump Systems with Partial Observations of the Markov Chain // IFAC-PapersOnLine. 2020. V. 53. No. 2. P. 2249–2254.
- 15. Wilson D.A. Convolution and Hankel Operator Norms for Linear Systems // IEEE Trans. Autom. Control. 1989. V. 34. P. 94–97.
- 16. *Баландин Д.В., Коган М.М.* Оптимальное по Парето обобщенное  $\mathcal{H}_2$ -управление и задачи виброзащиты // АиТ. 2017. № 8. С. 76–90.
- 17. *Баландин Д.В.*, *Бирюков Р.С.*, *Коган М.М.* Оптимальное управление максимальными уклонениями выходов линейной нестационарной системы // AuT. 2019. № 10. С. 37–61.
- 18. De Oliveira A.M., Costa O.L.V., Gabriel G.W., Barros Dos Santos S.R. Energy-to-Peak Reduced Order Filtering for Continuous-Time Markov Jump Linear Systems With Partial Information on the Jump Parameter // IEEE Access. 2022. V. 10. P. 79124–79133.
- 19. Costa O.L.V., De Oliveira A.M., Gabriel G.W., Barros Dos Santos S.R. Energyto-Peak Static Output Control for Continuous-Time Hidden Markov Jump Linear Systems // IFAC-PapersOnLine. 2023. V. 56. No. 2. P. 8141–8146.
- 20.  $Todorov\ M.G.$  A New Approach to the Energy-to-Peak Performance Analysis of Continuous-Time Markov Jump Linear Systems // IEEE Control Systems Letters. 2024. V. 8. P. 1024–1029.
- 21. Xu Z., Wu Z.-G., Su H., Shi P., Que H. Energy-to-Peak Filtering of Semi-Markov Jump Systems With Mismatched Modes // IEEE Transactions on Automatic Control. 2020. V. 65. No. 10. P. 4356–4361.
- 22. Liu H., Sun F., Sun Z. Reduced-order filtering with energy-to-peak performance for discrete-time Markovian jumping systems // IMA J. Math. Control Inform. 2004. V. 21. No. 2. P. 143–158.
- 23. Feng J., Han K. Robust full- and reduced-order energy-to-peak filtering for discrete-time uncertain linear systems // Signal Processing. 2015. V. 108. P. 183–194.

- 24. Zhang Z., Zhang Z., Yang S. Robust reduced-order  $l_2 l_{\infty}$  filtering for network-based discrete-time linear systems // Signal Processing. 2015. V. 109. P. 110–118.
- 25. Fragoso M., Baczynski J. Lyapunov coupled equations for continuous-time infinite Markov jump linear systems // Journal of Mathematical Analysis and Applications. 2002. V. 274. P. 319–335.
- 26. Fragoso M.D., Hemerly E.M. Optimal control for a class of noisy linear systems with markovian jumping parameters and quadratic cost // Int. J. Syst. Sci. 1991. V. 22. No. 12. P. 2553–2561.
- 27. Zhou J., Park J.H., Ma Q. Non-fragile observer-based  $H_{\infty}$  control for stochastic time-delay systems // Applied Mathematics and Computation. 2016. V. 291. P. 69–83.

Статья представлена к публикации членом редколлегии П.В. Пакшиным.

Поступила в редакцию 02.04.2025

После доработки 10.06.2025

Принята к публикации 30.06.2025